

УДК @@@

## ОЦЕНИВАНИЕ ПАРАМЕТРОВ В УРАВНЕНИИ АРРЕНИУСА

© 2005 г. О. Е. Родионова, А. Л. Померанцев

Институт химической физики им. Н.Н. Семенова РАН

Поступила в редакцию 08.08.2003 г.

Оценивание параметров уравнения Аррениуса часто приводит к мультиколлинеарности, т.е. к вырождению системы уравнений в методе наименьших квадратов. Это обстоятельство затрудняет оценку искомых параметров. Предложены простые приемы модификации модели, которые уменьшают мультиколлинеарность и позволяют найти эти параметры. Рассмотрены модельный и реальные примеры.

Одну и ту же физическую закономерность можно представить в разном виде. Предполагается, что вид модели и степень детализации при описании процессов в каждом конкретном случае определяет исследователь. Однако для получения количественных оценок при обработке экспериментальных данных важна и математическая форма записи. Разумеется, форма записи уравнения не изменяет смысл закона, но может сильно повлиять на решение задачи оценивания параметров этой модели. В настоящей работе мы рассмотрим этот методический вопрос на примере уравнения Аррениуса

$$k = k_0 \exp\left(-\frac{E}{RT}\right), \quad (1)$$

которое широко используется в химической кинетике для описания зависимости константы скорости химической реакции  $k$  от температуры  $T$ . Оно содержит одну константу  $R$  (газовую постоянную) и два неизвестных параметра: предэкспоненциальный множитель  $k_0$  и энергию активации  $E$ , которые оцениваются по экспериментальным данным (при допущении о независимости  $k_0$  от  $T$ ), например, с помощью метода наименьших квадратов (так называемая *обратная задача химической кинетики*).

Хорошо известно, что при использовании уравнения Аррениуса в виде (1) оценки параметров  $k_0$  и  $E$  часто получаются сильно коррелированными. Если нарисовать эллипс рассеивания этих оценок, то окажется, что он очень сильно вытянут: отношение длин его главных осей составляет величину порядка  $10^{20}$ . Это означает, что имеет место вырождение поверхности целевой функции (т.е. суммы квадратов), что затрудняет решение обратной задачи. Точка минимума становится неопределенной, и провести оценку

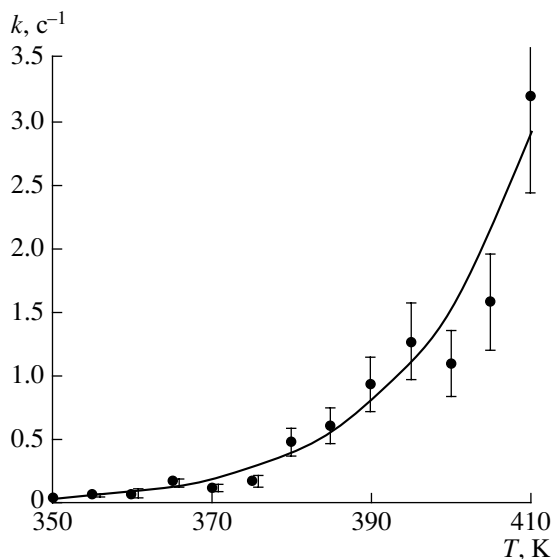
параметров невозможно. В общем случае, степень этого вырождения, называемого *мультиколлинеарностью* [1], можно охарактеризовать величиной *разброса*

$$N(\mathbf{A}) = \log \lambda_{\max} - \log \lambda_{\min},$$

где  $\lambda_{\max}$  и  $\lambda_{\min}$  – это максимальное и минимальное собственные числа матрицы  $\mathbf{A}$  (матрицы вторых производных целевой функции по параметрам). Чем больше величина  $N(\mathbf{A})$ , тем хуже обусловлена матрица  $\mathbf{A}$ , и тем труднее ее обратить.

На проблему мультиколлинеарности можно смотреть с разных точек зрения. Так, при линейном моделировании она проявляется в виде слишком большого числа неизвестных параметров [2]. Поэтому здесь используются методы, понижающие размерность задачи: регрессия на главные компоненты (PCR), проекция на латентные структуры (PLS). В нелинейном регрессионном анализе, как правило, приходится иметь дело не с избытком параметров, а с недостатком экспериментальных данных [3]. Применительно к уравнению Аррениуса это проявляется в узости интервала измеряемых температур: в твердофазной кинетике в большинстве случаев он не превышает [300 К, 500 К], что в обратных температурах означает интервал длиной всего 0.0013. Разумеется, эта величина зависит от выбора единиц измерения, формы записи уравнения (1) и других обстоятельств, на которые мы и хотим обратить внимание, предлагая применять некоторые специальные методы для решения проблемы мультиколлинеарности в нелинейной регрессии.

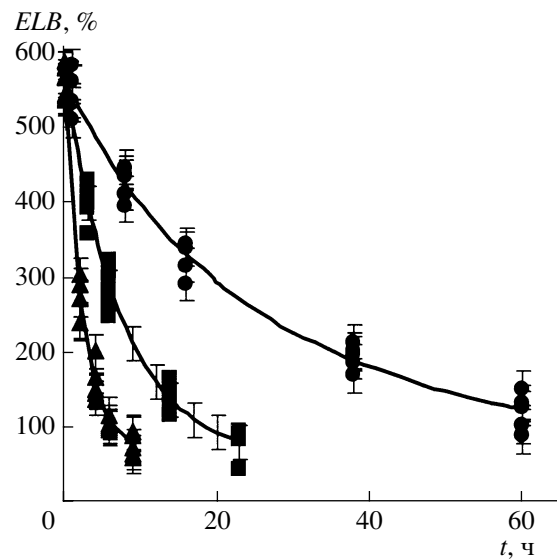
Другой аспект мультиколлинеарности состоит в том, что это также и вычислительная проблема, связанная с точностью представления чисел в компьютере. Как известно, это число записывается в виде последовательности из нулей и единиц (бит) в машинном слове. Не смотря на его значительную длину, часто она оказывается недоста-



**Рис. 1.** Модельный пример.

точной, и некоторые значащие цифры теряются в ходе вычислений. Это происходит, например, тогда, когда к очень большому числу прибавляется очень маленькое и оказывается, что  $10^{+20} + 10^{-20} + \dots + 10^{-20} = 10^{+20}$ . Именно такой случай имеет место, когда обращается матрица с большим разбросом собственных значений. Существуют специальные приемы, позволяющие модифицировать исходную проблему так, чтобы разброс  $N(\mathbf{A})$  существенно понизился. Они не изменяют сути решаемой задачи, но переформулируют ее таким образом, чтобы облегчить компьютеру проведение вычислений.

Вернемся к уравнению Аррениуса. На рис. 1 показан простейший модельный пример. При использовании уравнения (1) эта задача отличается большой жесткостью – разброс собственных значений составляет 19 десятичных порядков. Однако если перейти к традиционным координатам ( $\ln k$ ,  $1/T$ ), то разброс собственных значений станет уже значительно меньше – только 9 порядков. Заметим, что этот переход означает, по сути, замену переменной  $k_0 \rightarrow q = \ln k_0$  и преобразование модели (1) к виду  $k = \exp(q - E/RT)$ . Смысл такого преобразования очень прост: если величина исходного параметра  $k_0 = 2.80 \times 10^{11}$ , то величина нового параметра  $q = 26.36$ . Однако значение второго параметра ( $E$ ) все еще сильно отличается от величины первого параметра. Это положение можно исправить, применив *шкалирование* переменной  $T \rightarrow X = E_0/RT$ . Масштабный фактор  $E_0 = 6.13 \times 10^{+4}$  подбирается так, чтобы вариация нового предиктора  $X$  была равна единице. Тогда модель Аррениуса примет вид  $k = \exp(q - bX)$ , где новый параметр  $b$  выражается через исходный па-



**Рис. 2.** Разрывное удлинение (ELB) после старения резины и сглаживающие кривые при температуре 110 (1), 125 (2), 140°C (3).

раметр  $E$  по формуле  $b = E/E_0 = 1.41$ . Разброс собственных значений для этой модели уже очень хороший – всего 5 порядков, но мы можем его еще уменьшить. Для этого применим *центрирование* предиктора,  $X \rightarrow X' = X - X_0$ , выбрав величину  $X_0$  так, чтобы среднее значение нового предиктора  $X'$  было равно нулю, т.е.  $X_0 = 19.62$ . После этого модель Аррениуса примет вид:

$$k = \exp(a - bX'), \quad (2)$$

где новый параметр  $a$  выражается через исходные параметры  $k_0$  и  $E$  по формуле  $a = q - bX_0 = \ln(k_0) - E/E_0 X_0 = -1.00$ . Для этой модели разброс собственных значений уже равен 1, т.е. минимально возможной величине. Обратные преобразования имеют вид  $k_0 = \exp(a + bX_0)$  и  $E = bE_0$ . Аналогичный прием использован в [4].

Приведенный пример показывает, что с помощью простых преобразований можно переписать исходную “физическую” модель (1) в новом “математическом” виде (2) и при этом решить все проблемы, связанные с мультиколлинеарностью. Здесь важно отметить, что преобразования исходных данных и модели ни коим образом не влияют на точность оценивания. Так, среднеквадратичные отклонения оценок параметров  $a$  и  $b$  в модели (2) равны соответственно 0.070 (7%) и 0.072 (5%) при коэффициенте корреляции 0.005. Пересчитав эти погрешности на исходный параметр  $k_0$ , мы получим среднеквадратичное отклонение  $3.95 \times 10^{11}$ , что составляет уже 141% по отношению к исходной величине  $2.80 \times 10^{11}$ . Этую же величину

можно получить посредством прямого расчета по модели (1).

Рассмотрим теперь реальный пример обработки данных ускоренному термостарению шинных резин [5]. На рис. 2 представлены кривые изменения относительного разрывного удлинения (*ELB*), полученные при трех температурах. Для их описания используется следующая модель:

$$ELB = c_0 + c_1 e^{-k_1 t} + c_2 e^{-k_2 t},$$

где  $t$  – время, а константы  $k_1$  и  $k_2$  зависят от температуры по закону Аррениуса. При решении обратной задачи здесь необходимо найти уже семь неизвестных величин: три параметра формы и четыре аррениусовских параметра. Если использовать уравнение Аррениуса в виде (1), то задача будет мультиколлинеарной с разбросом  $N(A) = 27$ , и оценить параметры совершенно невозможно. Заметим, что переход к привычным координатам ( $\ln k$ ,  $1/T$ ) здесь просто невозможен. Однако при использовании уравнения (2) разброс резко снижается до  $N(A) = 9$ , и могут быть найдены все оценки.

Тот же подход может быть применен и к моделированию неизотермических процессов. Например, для определения температуры начала окисления (**THO**) по результатам, полученным методом дифференциальной сканирующей калориметрии (**ДСК**), используют следующую модель [3]:

$$y = f_v + \begin{cases} 0, & T < T_v \\ mc \exp\left(-\frac{E}{RT}\right), & T > T_v \end{cases}, \quad (3)$$

$$\text{где } \begin{cases} \frac{dc}{dT} = \frac{k_0}{v} \exp\left(-\frac{E}{RT}\right), \\ c(T_v) = 0 \end{cases}$$

Символом  $y$  обозначен наблюдаемый сигнал ДСК. Эта модель включает три независимые переменные (предиктора),  $v$  (скорость нагрева),  $m$  (масса образца),  $T$  (температура) и четыре неизвестных параметра:  $k$  (предэкспоненциальный множитель),  $E$  (энергия активации),  $T_v$  (величина THO) и  $f_v$  (фоновый параметр). Последние два параметра зависят от скорости нагрева  $v$ .

На рис. 3 показаны данные, полученные методом ДСК при разной скорости нагрева на образцах полипропилена. Там же отмечены и температуры начала окисления при каждой скорости нагрева  $v$ . Если описывать эти данные моделью в “естественному” виде (3), то оценить параметры невозможно, так как разброс собственных значений слишком велик:  $N(A) > 30$ . Замена перемен-

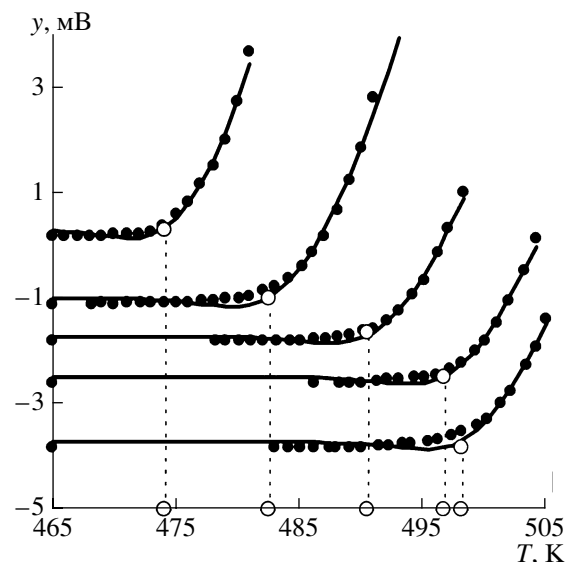


Рис. 3. Данные дифференциальной сканирующей калориметрии и регрессионные кривые, соответствующие различным скоростям нагрева ( $v$ , град/мин) полипропилена: 1 – 20; 2 – 15; 3 – 10; 4 – 5, 5 – 2

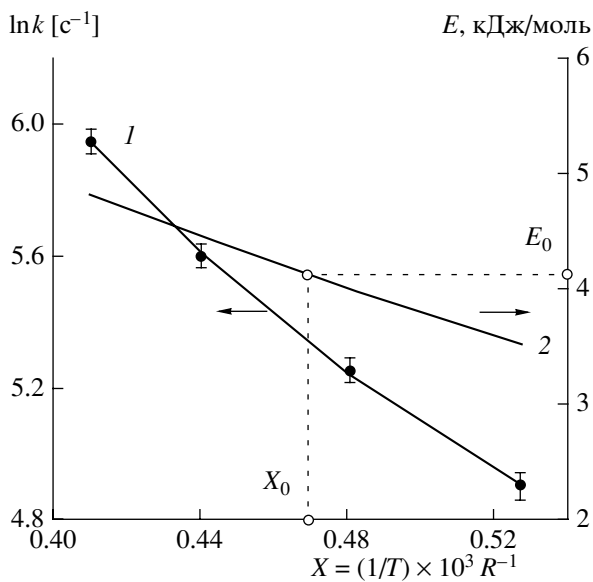
ной  $k_0 \rightarrow q = \ln(k_0)$  снижает разброс до 11, последующее шкалирование до 8, а окончательное центрирование до 4.

В некоторых случаях наблюдаются отклонения от закона Аррениуса. С теоретической точки зрения это связано с тем, что в уравнении (1) мы пренебрегаем температурной зависимостью предэкспоненциального множителя  $k_0$  от температуры, которая должна иметь место, исходя из учета статистических сумм состояния активированного комплекса и исходных реагентов. В работе [6] приведена зависимость константы скорости низкотемпературной полимеризации метилметакрилата от температуры (см. рис. 4).

Зависимость не является линейной, наклон кривой увеличивается с ростом температуры, т.е. энергия активации увеличивается с ростом температуры. Для учета этого обстоятельства нужно модифицировать уравнение Аррениуса, введя в него зависимость  $E(T)$ . Применяя описанные выше приемы, уравнение для  $k(T)$  можно представить в виде

$$\ln k = a - EX', \quad E = b + c \ln(1 + X'), \quad (4)$$

где  $X = X/X_0 - 1$ ,  $X = 10^3/RT$ . Величина  $X_0$  определяется так же, как и выше, чтобы среднее значение предиктора  $X'$  было равно нулю. В представлении (4) модель характеризуется небольшим разбросом собственных значений  $N(A) = 4$ , и все параметры  $a$ ,  $b$  и  $c$  легко оцениваются. На рис. 4 приведены зависимости  $\ln k$  (левая ось ординат) и  $E$  (правая ось ординат) от  $X$ . Величина  $E_0$  равна



**Рис. 4.** Зависимость логарифма константы скорости (1) и эффективной энергии активации (2) низкотемпературной полимеризации метилметакрилата от обратной температуры  $1/T$ . Данные [6].

энергии активации, определенной по “классическому” уравнению Аррениуса (1). Примечательно, что она соответствует значению  $E$  в средней точке оси  $X$ , т.е.  $E(X_0) \approx E_0$ .

Для моделирования уравнения Аррениуса характерна мультиколлинеарность, т.е. вырождение, которое проявляется в том, что параметры модели невозможно оценить. Мультиколлинеарность определяется тремя основными причинами: формой представления модели, точностью вычислений и качеством экспериментальных данных. Предложенные приемы модификации модели и данных позволяют значительно снизить вырождение и осуществлять оценку параметров. Расчеты проводились с помощью системы Fitter [7]. Все необходимые данные и подробности расчетов можно найти на сайте [8].

#### СПИСОК ЛИТЕРАТУРЫ

- Бард И. Нелинейное оценивание параметров. М.: Статистика, 1979.
- Martens H., Naes T. Multivariate Calibration. N. Y.: Wiley, 1998.
- Bystritskaya E.V., Pomerantsev A.L., Rodionova O.Ye. // J. Chemom. 2000. V. 14. P. 667.
- Chen N.H. // AIChE J. 1992. V. 38. № 4. P. 626.
- Bystritskaya E.V., Pomerantsev A.L., Rodionova O.Ye. // Chemom. Intell. Lab. Syst. 1999. V. 47. P. 175.
- Эмануэль Н.М., Кнорре Д.Г. Курс химической кинетики. М: Высш. школа, 1984. С. 75.
- Fitter Add-Inn. [On line], <http://polycert.chph.ras.ru/fitter.htm> (1 июля 2003).
- Fitter Solutions [On line], [http://polycert.chph.ras.ru / solution.htm](http://polycert.chph.ras.ru/solution.htm) (1 июля 2003).